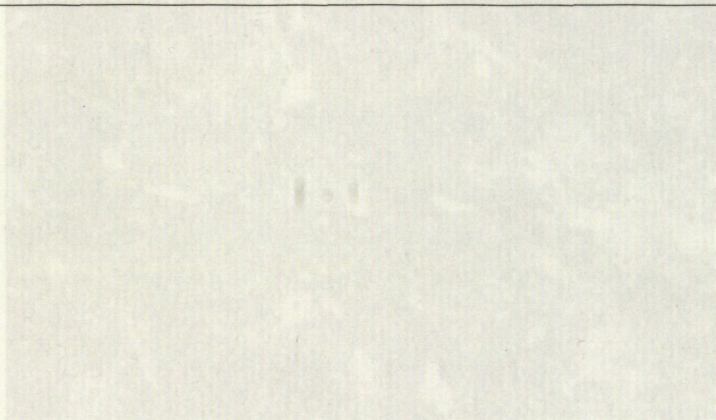


**ANEXO IV: DOCUMENTACION FOTOGRAFICA DE LAS PREPARACIONES
ANALIZADAS MEDIANTE MICROSCOPIA DE LUZ TRANSMITIDA**



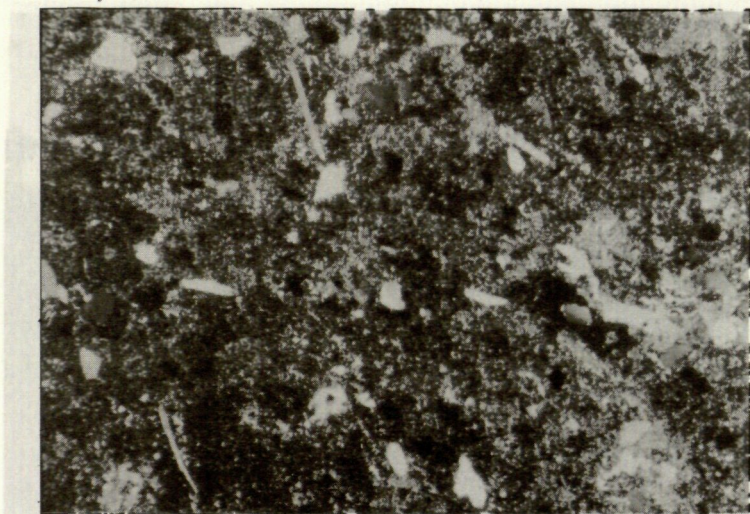
35 μ



Foto 1: Roca silíceo del Cratón superior con restos de carbónes cilíndricos de la roca caja. Presencia de gruesos macrofósforos de cuarzo, dentícos y de morfología variados (muestra n° 133, luz ortoscópica, 35x aprox)

Foto 2: Densos volúmenes de fosforóforos (dentícos) en la corteza carbonatada de un núcleo silíceo del Cratón superior (muestra n° 100, luz polariza, 45x aprox)

481

46 μ 

481

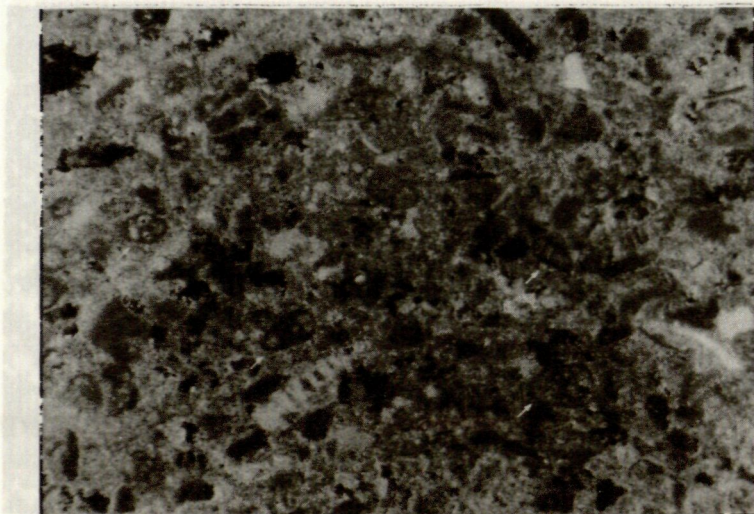
35 μ 

Foto 1: Roca silícea del Cretácico superior con restos de carbonato cálcico de la roca caja. Presencia de granos macrocristalinos de cuarzo detrítico y de moscovita aislados (muestra n° 133, luz ortoscópica, 35x aprox)

Foto 2: Distintas secciones de foraminíferos (miliólidos) en la corteza carbonatada de un nódulo silicificado del Cretácico superior (muestra n° 108, luz paralela, 45x aprox)

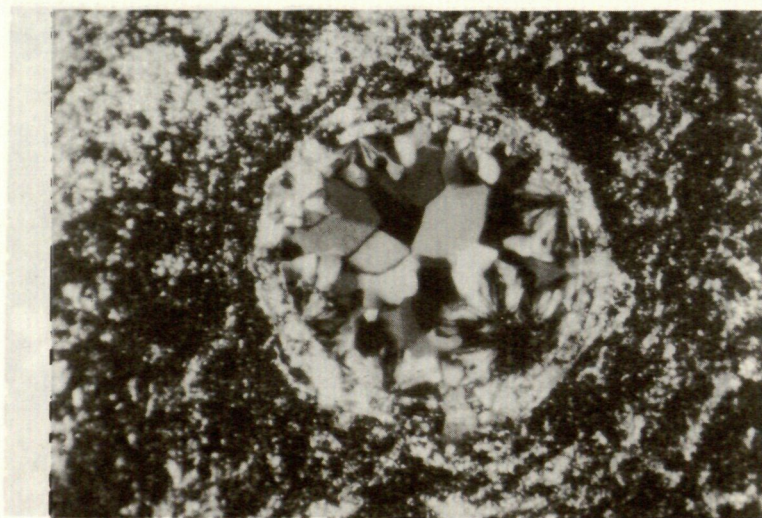
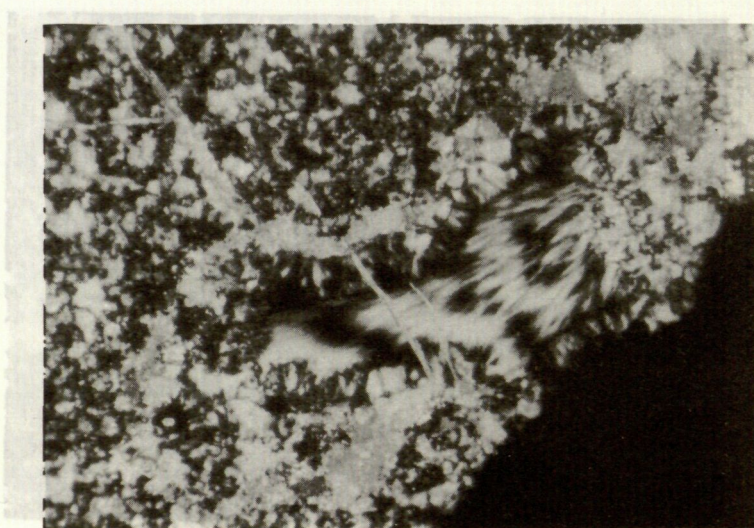
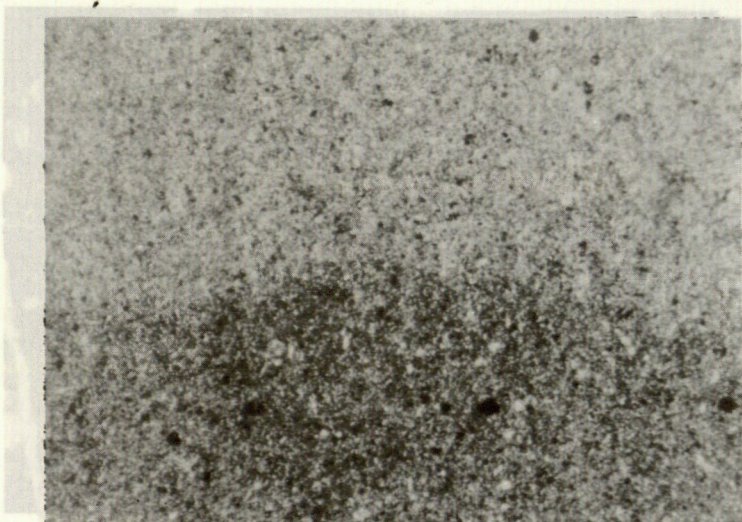


Foto 3: Textura fibrosa de cuarzo alfa, de tipo calcedonita cebraica, en una roca silícea del Cuisiense inferior (muestra n° 53, luz ortoscópica, 85x aprox)

Foto 4: Oogonio de carácea en una roca silícea del Cuisiense inf. Presenta su corteza carbonatada y el interior relleno por texturas macrocristalinas y fibrosas de cuarzo alfa (muestra n° 52, luz ortoscópica, 85x aprox)

46 μ

46 μ



46 μ

46 μ

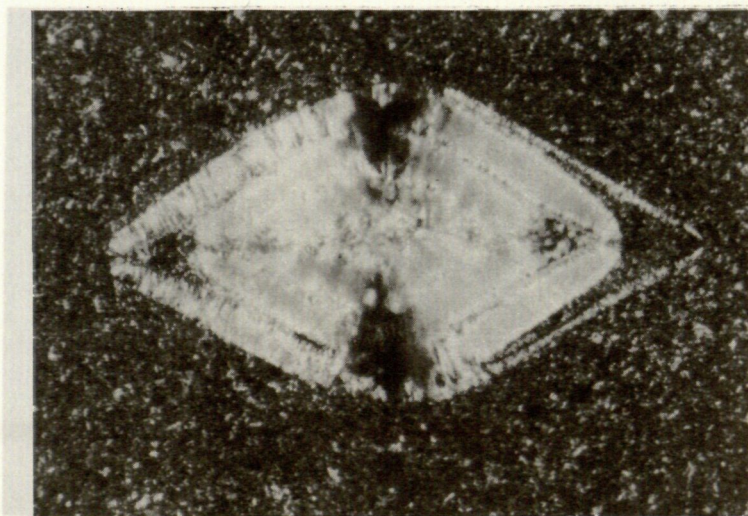


Foto 5: Contacto entre el interior de un nódulo silicificado del Cuisiense superior y su corteza carbonatada (muestra n° 69, luz ortoscópica, 35x aprox)

Foto 6: Sección tangencial de un foraminífero (nummulites) en una roca silicea del Cuisiense superior (muestra n° 56, luz ortoscópica, 35x aprox)

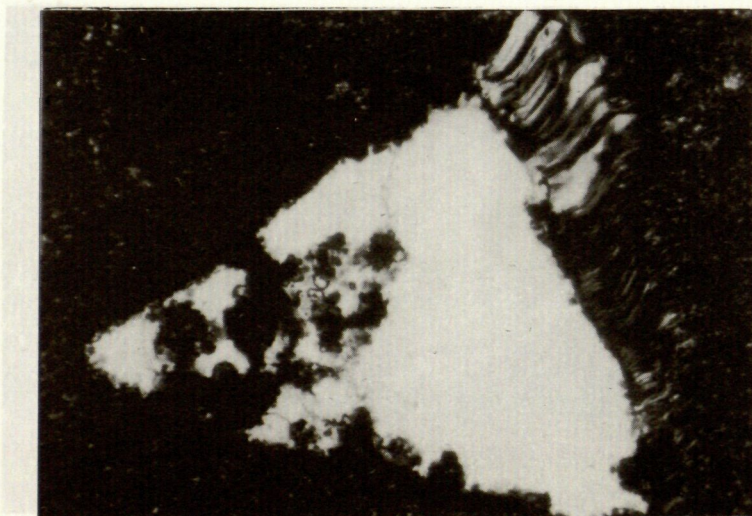
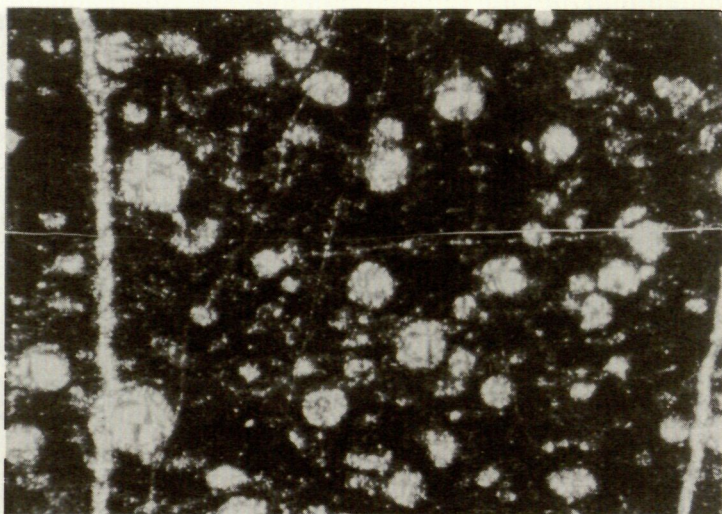


Foto 7: Aspecto general de una roca silíceea primaria de los conglomerados del Eoceno medio y superior formada por la acumulación de radiolarios (muestra n° 79, luz ortoscópica, 35x aprox)

Foto 8: Antiguo fenocristal reemplazado por texturas macrocristalinas y fibrosas de cuarzo alfa en una roca silíceea endógena de los conglomerados del Eoceno medio y sup. (muestra n° 80, luz ortoscópica, 85x aprox)



Foto 9: Esferulitos de desvitrificación de calcedonita en una roca silícea endógena de los conglomerados del Eoceno medio y superior (muestra n° 94, luz ortoscópica, 170x aprox)

Foto 10: Grietas de origen tectónico rellenas por calcita en una roca silícea endógena de los conglomerados del Eoceno medio y superior (muestra n° 85, luz ortoscópica, 35x aprox)